



## برآورد میزان نشست خط ۲ متروی کرج با استفاده از روش‌های تحلیلی و عددی

سیدنا رستم آبادی<sup>۱</sup>، مهدیار درگاهی<sup>۱</sup>، احمد اسدی<sup>۱\*</sup> و محمد فسروتاش<sup>۲</sup>

(۱) باشگاه پژوهشگران جوان و نخبگان، دانشگاه آزاد اسلامی، واحد تهران جنوب، ایران

mah.dargahi@gmail.com

a\_asadi@azad.ac.ir

(۲) امور طرح‌های تونل و سازه‌های زیرزمینی، شرکت سایبر، تهران، ایران

mo\_khosrotash@yahoo.com

(\*) عهده دار مکاتبات

دریافت: ۹۴/۰۷/۲۲؛ دریافت اصلاح شده: ۹۴/۰۷/۲۵؛ پذیرش: ۹۳/۰۷/۲۵؛ قابل دسترس در تاریخ: ۹۴/۰۷/۳۰

### پنجه‌ده

امروزه با توجه به افزایش جمعیت در شهرها، احداث تونل‌های زیرزمینی به منظور کاهش ترافیک و حمل و نقل امری ضروری است. این مقاله حاصل تحقیق برآورد نشست در جریان احداث خط ۲ متروی کرج است. در این تحقیق ابتدا به وسیله رابطه تحلیلی بابت میزان نشست در خط ۲ متروی کرج برآورد گردید و پروفیل عرضی نشست زمین به وسیله رابطه پک رسم شد. در ادامه، تونل با استفاده از نرم افزار 2D PLAXIS مدل سازی شده و میزان نشست زمین با روش عددی المان محدود برآورد گردید. حداکثر نشست با رابطه تحلیلی بابت حدود ۲/۱ سانتی متر، با روش عددی المان محدود با اعمال بار ترافیکی حدود ۴/۹ سانتی متر و بدون اعمال بار ترافیکی ۴ سانتی متر برآورد گردید. میزان نشست اندازه‌گیری شده با ابزار دقیق پروژه نیز نزدیک به نتایج بدست آمده می‌باشد. روش به کار رفته در این تحقیق نشان می‌دهد که اگرچه مقدار نشست برآورد شده به روش عددی به مقدار واقعی نزدیکتر است، اما استفاده از هر دو روش تحلیلی و عددی برای برآورد میزان نشست زمین در اثر ساخت این تونل امکان‌پذیر می‌باشد.

**واژه‌های کلیدی:** برآورد نشست، روش تحلیلی بابت، روش عددی المان محدود، ابزار دقیق، خط ۲ متروی کرج

### ۱- مقدمه

- شهری می‌توان به: فروپاشی جبهه کار حفاری و شکست نگهدارنده اصلی،
- نشست سطحی بیش از اندازه و در نتیجه آسیب یا تخریب ژئوتکنیکی زمین، وجود ساختمان‌ها و تاسیسات سطحی و زیرزمینی ساختمان،
- خسارت تحرکات نشست به سیاست سطحی و زیرزمینی، و محدودیت‌های ترافیکی، مخاطرات خاص خود را دارا می‌باشد. از جمله مخاطرات اصلی در پروههای تونل‌سازی پخصوص تونل سازی
- مرگ یا جراحت کارگران، مهندسان و شهروندان،

- جابجایی عمودی) در حالت کوتاه مدت را بیان کردند. بابت در سال ۲۰۰۱ (Bobet 2001) روشی تحلیلی برای محاسبه نشست ماکزیمم در اثر ساخت تونل سازی سپری را ارائه کرد. پارک نیز در سال ۲۰۰۵ (Park 2005) روشی تحلیلی را برای محاسبه میزان نشست در زمین‌های رسی ارائه کرد. روش‌های تحلیلی اشاره شده در حالت زمین آزاد (بدون وجود سازه سطحی) میزان نشست را برآورد می‌کنند. پاتس و آدنبروک در سال ۱۹۹۷ (Potts & Addenbrooke 1997) با در نظر گرفتن سختی نسبی سازه - خاک روابطی را ارائه کردند که تأثیر حفر تونل و نشست زمین بر سازه‌های سطحی را قابل برآورد می‌کرد. این روش توسط فرانزیوس در سال ۲۰۰۳ (Franzius 2003) و دایموک و میر در سال ۲۰۰۸ (Dimmock & Mair 2008) مورد بررسی و اصلاحات بیشتری قرار گرفت.
  - میرحبیبی و سروش نیز در سال‌های ۲۰۱۲ و ۲۰۱۳ (Mirhabibi & Soroush 2012; Mirhabibi & Soroush 2013) با استفاده از روش عددی المان محدود، تأثیر سازه‌های سطحی بر میزان نشست زمین در اثر ساخت تونل‌های دوقلو را مورد بررسی قرار دادند. همچنین طالبی‌ژزاد و همکارانش در سال ۲۰۱۳ (Talebinejad et al. 2013) با استفاده از روش عددی تفاضل محدود سه بعدی و مدل الاستیک - پلاستیک، جابجایی‌های سطحی و زیر سطحی را در تونل‌های با حفاری مرحله‌ای بررسی کردند.
  - در این مقاله با استفاده از رابطه تحلیلی بابت و نرم‌افزار المان محدود PLAXIS 2D، میزان نشست در محدوده متروی خط ۲ کرج برآورد گردید. در انتها نتایج با مقادیر اندازه‌گیری شده با ابزار دقیق پروره مقایسه شدند.
  - ضرر اقتصادی به اموال و یا سرویس‌های شهری،
  - اثرات زیست محیطی از قبیل انتشار مواد سمی، قابل اشتعال و یا مضر،
  - تاخیر پروره و در نتیجه ضرر اقتصادی به اشخاص ثالث و
  - از دست دادن اعتماد عموم مردم که ممکن است به تحرکات سیاسی منجر شود اشاره نمود. (Ghorbani 2012).
- بر این اساس، نشست سطح زمین در اثر حفر تونل در مناطق شهری از جمله مخاطرات اصلی در تونل سازی می‌باشد. با افزایش ساخت تونل‌های شهری، در چند دهه اخیر توجه محققین و مهندسان به انواع روش‌های برآورد و محاسبه میزان نشست زمین در اثر ساخت تونل‌های شهری افزایش چشمگیری داشته است. در یک طبقه‌بندی کلی می‌توان گفت روش‌های برآورد و محاسبه نشست زمین در اثر ساخت تونل‌ها به روش‌های تجربی، تحلیلی و عددی تقسیم می‌شود. از قدیمی‌ترین روش‌های تجربی می‌توان به رابطه پک (Peck 1969) اشاره کرد که برای اولین بار به منظور برآورد میزان نشست زمین در اثر تونل سازی در سال ۱۹۶۹ ارائه شد. بر اساس نظر پک منحنی نشست زمین دارای یک توزیع نرمال بوده و به صورت گوسی می‌باشد. اتون و وودمن در سال ۱۹۸۲ (Attewell & Woodman 1982) دریافتند که تأثیر نشست طولی ناشی از تونل سازی با استفاده از یک منحنی توزیع تجمعی نرمال قابل نمایش است. از آنجا که رابطه ارائه شده توسط پک به صورت تجربی بوده و داده‌های اندازه‌گیری شده محدود بودند، این روش نمی‌توانست میزان دقیقی از نشست را ارائه دهد. ذکر این نکته ضروری است که میزان نتیجه بدست آمده از یک رابطه تجربی تا حد زیادی به مسائل زمین‌شناسی وابسته است.
- در سال‌های اخیر، روش‌های تحلیلی بسیاری توسط محققین ارائه شده است. این روش‌ها، فرمول‌ها و روابطی را برای برآورد و محاسبه نشست زمین در اختیار مهندسین قرار می‌دهند. با استفاده از روش‌های ارائه شده توسط گنزالس و ساگاستا در سال‌های ۱۹۸۷ و ۲۰۰۱ (Sagasteta 1987; Sagasteta & Gonzalez 2001) و ورویت و بوکر در سال ۱۹۹۶ (Verruijt & Booker 1996)، جابجایی عمودی و افقی برای خاک توسط روابطی که از مفروضات الاستیک خاک مشتق می‌شوند، بدست می‌آید. لگاناتان و پولوس در سال ۱۹۹۸ (Loganathan & Poulos 1998) با استفاده از معادله حرکت غیرخطی خاک و در نظر گرفتن پارامتر خاک از دست رفته، روابط ورویت و بوکر را اصلاح کرده و میزان نشست زمین (ناشی از

## ۲- معرفی روش تحلیلی بابت

روش تحلیلی بابت در سال ۲۰۰۱، برای بررسی نشست و تغییر شکل‌های زمین در اثر حفر تونل در مناطق کم عمق و در محیط‌های اشباع با استفاده از روش تحلیلی که اینیستتو شوارتز برای تونل‌های عمیق در شرایط خشک ارائه داده بودند، توسعه داده شد. جزئیات مربوط به روش تحلیلی بابت در تصویر ۱ ارائه شده است. در این روش فرض برآن است که تونل دایره‌ای، شرایط کرنش صفحه‌ای و تنش بررشی در سطح تماس پوشش با دیواره صفر و نسبت عمق به

(Peck 1969). محققین روابط گوناگونی را برای محاسبه نقطه عطف منحنی نشست ارائه کردند که برخی از آنها در جدول ۱ ارائه شده است.

### ۳- معرفی متروی کرج مشتملات فنی و ژئوتکنیکی

خط ۲ متروی کرج از کمال شهر شروع شده و پس از عبور از خیابان‌های شهید بهشتی (قزوین سابق) و طالقانی جنوبی و امتداد تا میدان امام حسین(ع) به سمت ایستگاه متروی کرج-صادقیه گسترش یافته و سپس تا منطقه ملارد ادامه می‌یابد (شرکت مهندسین مشاور تونل راد (۱۳۹۰)). لایه‌های شناسایی شده از خاک زیر سطحی محدوده مورد بررسی را می‌توان در سه گروه لایه‌های خاک دستی، خاک ریزدانه و خاک درشت دانه طبقه بندی کرد. مطالعه گمانه‌های حفاری شده در این محدوده نشان دهنده‌ی آن است که این رسوبات اغلب از خاک دانه درشت شن و ماسه تشکیل شده که با حرکت به سمت شرق ساختگاه و با دور شدن از قسمت‌های مرکزی مخروط افکنه کرج مصالح ریز دانه تر شده و از دیدگاه مکانیکی دارای مقاومت بالایی است (شرکت مهندسین مشاور دریا خاک پی (۱۳۸۴)). در تصویر ۲ مسیر خط ۲ متروی کرج نشان داده شده است.

ضخامت خاک دستی در محدوده‌ی مورد مطالعه ۱ الی ۲ متر در ساختگاه مشاهده شده است. دانه بندی خاک دستی در نقاط مختلف از شن و ماسه (زیر خیابان‌ها) تارس (در فضای سبز) متغیر بوده است. در برخی مناطق شرقی ساختگاه خاک دستی دارای قطعات درشت قلوه سنگی نیز می‌باشد. در نواحی شرقی تا مرکزی نیز از لایه‌های خاک اغلب ریزدانه رسی، گاهی ماسه یا لایدار و به ندرت ماسه رسی و لایدار، مرطوب، بسیار سفت تا سخت و به رنگ قهوه‌ای تشکیل

جدول ۱- برخی روابط محاسبه مقدار به روش‌های تجربی (ستاری و همکاران (۱۳۸۸))

ارائه دهنده	رابطه
peck.1969	$\frac{i}{R} = \left(\frac{Z_o}{2R}\right)^n \quad n = 0.8 - 1$
Mail.1963	$i = 0.5Z_o$
Leach.1985	$i = 0.57 + 0.45(Z_o - Z) \pm 1.01$ $i = 0.64 + 0.48Z \pm 0.91$
Arioglu,1992	$i = 0.386Z_o + 2.84$ $i = 1.392R\left(\frac{Z_o}{D}\right)^{0.704}$
Lee,1999	$\frac{i}{R} = 0.58\left(\frac{Z_o}{2R}\right) + 1.0$

شعاع تونل بیش از ۷۵ می‌باشد. همچنین زمین همگن و ایزوتروپ، رفتار زمین نیمه الاستیک و رفتار سیستم نگهداری الاستیک والگوی تغییر شکل در اطراف تونل شعاعی می‌باشد (Bobet 2001).

این روش فاکتورهای زمانی مانند حرش موثر بر رفتار خاک را مدنظر قرار نمی‌دهد و در این شرایط (خاکی که رفتار وابسته به زمان دارد) قابلیت کاربرد ندارد. بابت میزان نشست زمین برای تونل‌سازی در زمین‌های خشک رانیز مورد بررسی قرار داد. مفروضات این حالت مشابه حالت اشباع است با این تفاوت که آب وجود ندارد. میزان ماکریم نشست در شرایط زمین خشک از رابطه ۱ تعیین می‌شود.

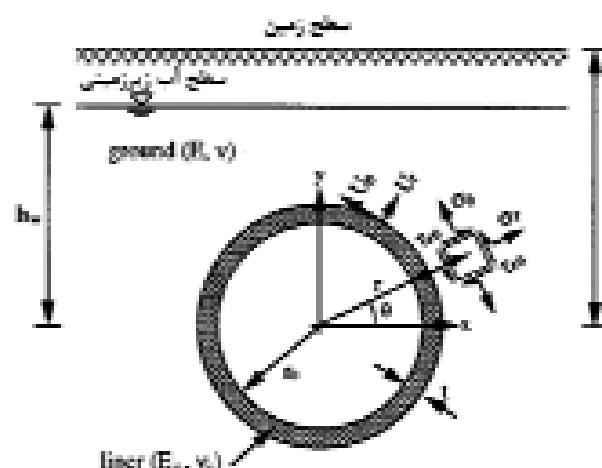
$$\delta_{\max} = -\frac{wr_o}{h} + \frac{1+v}{E} \left\{ r_o^2 \left[ \frac{1}{8} (K - \frac{v}{1-v}) \left( \frac{r_o}{h} \right)^2 - \frac{1}{4} \cdot \frac{3-4v}{1-v} Inh + yh(1-K)r_o + \frac{1}{8} \left( \frac{r_o}{h} \right)^3 - \frac{1}{4} \left( \frac{r_o}{h} \right)^5 \right] \right\}$$

در رابطه (۱)  $w$  میزان پارامتر گپ،  $r_o$  شعاع تونل،  $v$  ضریب پواسون،  $E$  مدول الاستیسیته خاک،  $y$  وزن مخصوص کل خاک،  $h$  عمق تونل و  $k$  ضریب فشار زمین در حالت سکون (نسبت تنفس افقی به قائم) است.

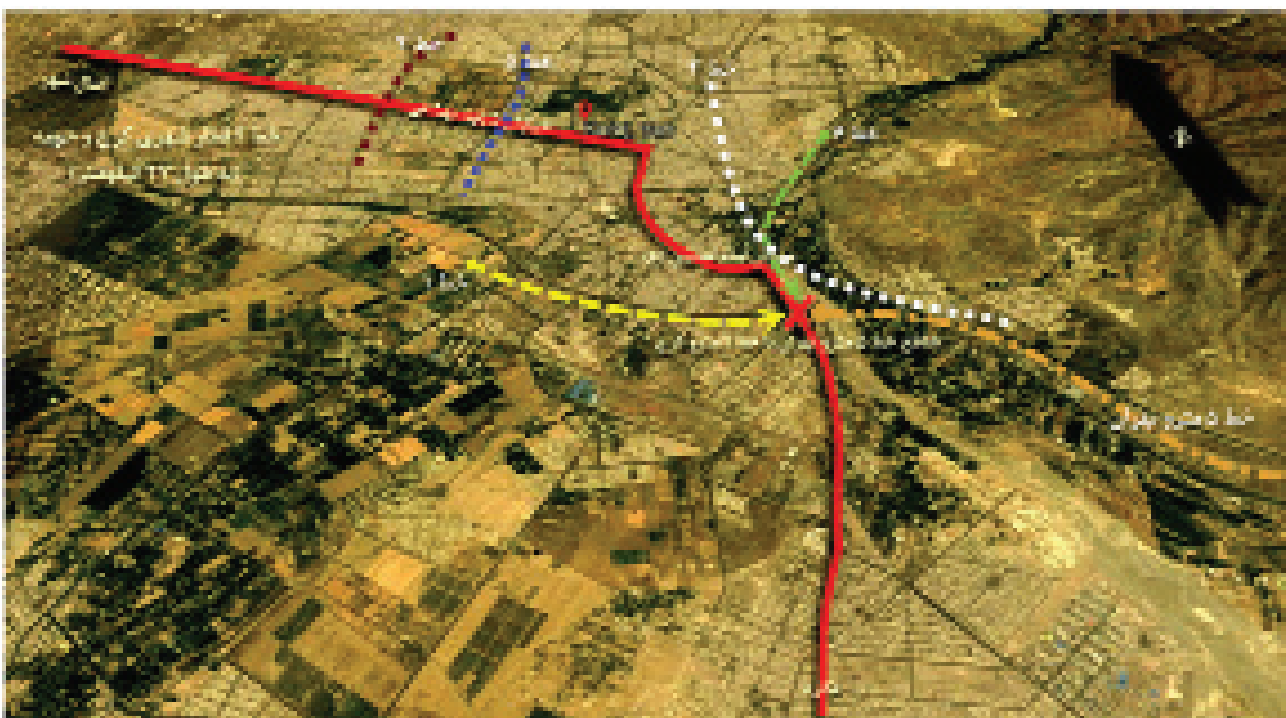
رابطه تحلیلی بابت میزان نشست ماکریم را برآورد می‌کند. برای رسم پروفیل عرضی نشست از رابطه ۲ ارائه شده توسط پک در سال ۱۹۶۹ استفاده می‌شود (Peck 1969).

$$S = S_{\max} \cdot \exp\left(\frac{-x^2}{2t^2}\right) \quad (2)$$

در رابطه (۲)،  $S$  میزان نشست در نقطه مدنظر،  $S_{\max}$  نشست بیشینه، فاصله از محور تونل و نقطه عطف منحنی نشست است. در محل نقطه  $n$ ، نشستی در حدود ۶۰٪ نشست بیشینه رخ می‌دهد



تصویر ۱- جزئیات مربوط به روش تحلیلی بابت (Bobet 2001)



تصویر ۲- نقشه مسیر خط ۲ متروی کرج (شرکت مهندسین مشاور تونل راد ۱۳۹۰)

معادل  $8/4$  متر در نظر گرفته شده و میزان شعاع در محاسبات  $4/2$  متر لحاظ شده است. تصویر ۳ میزان نشست برآورده شده به روش تحلیلی بابت رانشان می‌دهد.

در این روش، ماکریزم نشست سطح زمین  $3/1$  سانتی متر روی محور تونل برآورده شده است. تأثیر حفر تونل بر سطح زمین از  $3^{\circ}$  متری اطراف تونل ناپدید شده و میزان نشست از این فاصله به بعد ناچیز و قابل صرف نظر کردن می‌باشد. لازم به ذکر است که ضریب فشار زمین در محاسبات بر اساس رابطه جکی ( $k = 1 - \sin \vartheta$ )،  $0/6$  لحاظ شده است (Brinkgreve 2002).

مشخصات این لایه در نواحی مختلف بین صفر تا  $15$  متر متغیر است. سازه تونل یک حلقه بیضی شکل از بتون مسلح به عرض  $8/4$  متر و ارتفاع  $7/8$  متر است که در اعماق  $14$  تا  $20$  متری از سطح زمین واقع شده است. سیستم نگهداری موقعت نیز شامل لیس، مش فولادی و شاتکریت به ضخامت  $35$  سانتی متر می‌باشد (شرکت مهندسین مشاور تونل راد ۱۳۹۰). مشخصات ژئوتکنیکی مقطع مورد بررسی در جدول ۲ آمده است.

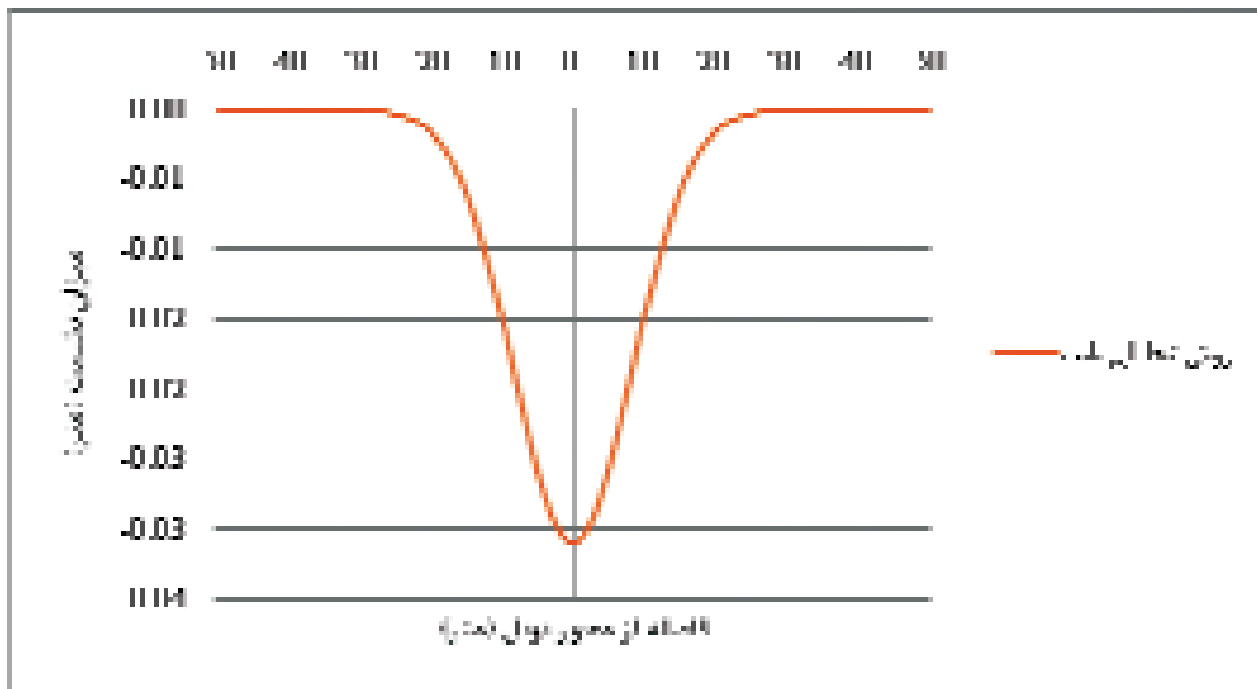
## ۱۴- برآورد میزان نشست سطح زمین

### ۱۴-۱- روش تملیلی بابت

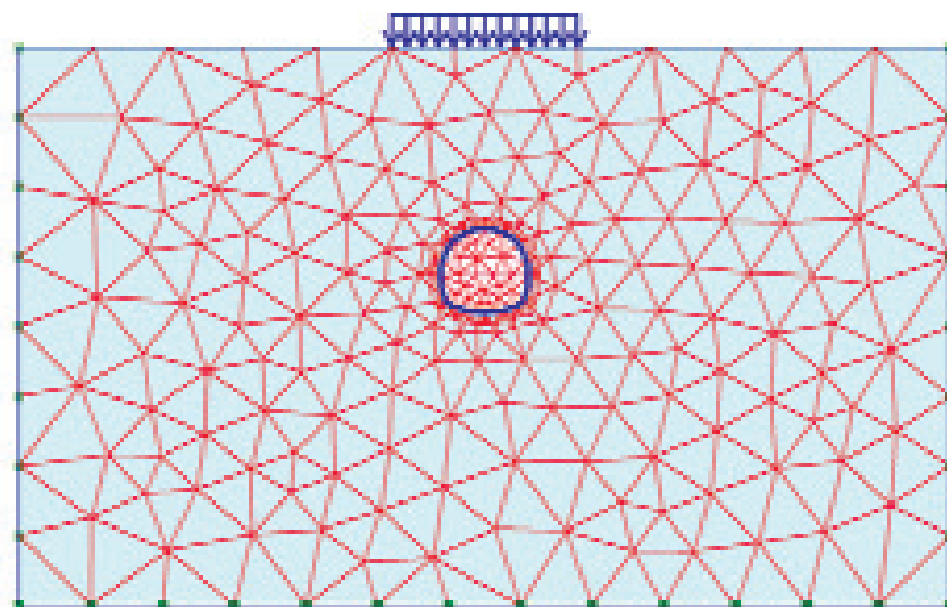
**۱۴-۱-۱- روش عددی المان محدود**  
در این قسمت از روش عددی المان محدود و از نرم افزار PLAXIS 2D 8.2 برای برآورده میزان نشست سطح زمین استفاده شده است. این نرم افزار محصول کشور هند بوده و قابلیت بالایی در مدلسازی محیط‌های خاکی و سنگی دارد (Brinkgreve 2002). در این تحلیل، مدلی با عرض (عمق)  $60$  متر و طول  $100$  متر ( $50$  تا  $50$  متر) ساخته شده است. تأثیر حفر تونل در  $50$  متر اطراف محور تونل روی سطح زمین مورد ارزیابی واقع شده است. مرزهای کاری مدل نسبت به جابجایی افقی و مرز پایینی مدل نسبت به جابجایی افقی و قائم ثابت شده است. همچنین مدل رفتاری موهر-کولمب به محیط

در این قسمت با توجه به مشخصات ارائه شده در جدول ۲، ابتدا به وسیله رابطه تحلیلی بابت (رابطه ۱)، میزان نشست ماکریزم برآورده گردید، سپس به وسیله رابطه تجربی پک (رابطه ۲)، پروفیل عرضی نشست رسم شد. برای محاسبه نقطه عطف منحنی نشست از روابط ارائه شده در جدول ۱ استفاده شده است. در این محاسبات، میزان پارامتر گپ  $10$  سانتی متر و عمق تونل  $20$  متر لحاظ شده است. قظر جدول ۲- مشخصات ژئومکانیکی محدوده مورد مطالعه (شرکت مهندسین مشاور دریا خاک پی ۱۳۸۴)

زاویه اصطکاک داخلی (درجه)	چسبندگی (Kpa)	نسبت پواسون	مدول الاستیستیه (Mpa)	$\gamma \left( \frac{\text{Tonne}}{\text{m}^3} \right)$
۲۰	۵۰	.۶۳	۴۰	۱/۸۶



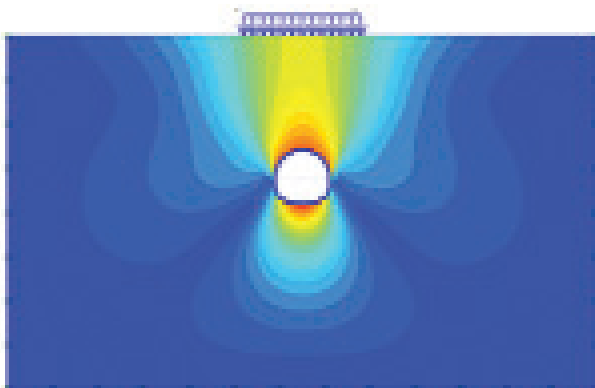
تصویر ۳- پروفیل عرضی نشست زمین، رابطه تحلیلی بابت



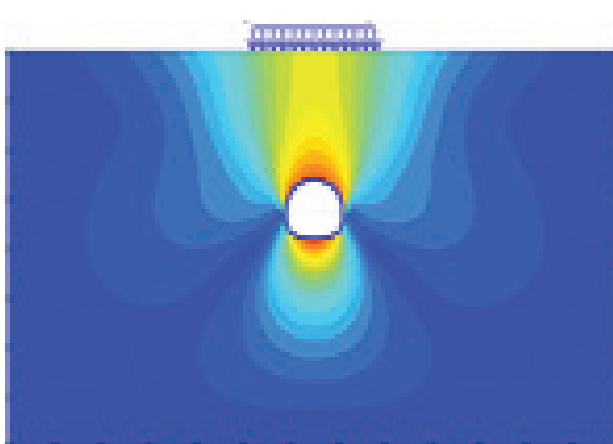
تصویر ۴- نحوه مش‌بندی، بار ترافیکی و مراحل حفر در روش عددی المان محدود

خاکی مدل اعمال شده است. بارگذاری گسترده ۲ تن بر متر در مرحله به مرحله می‌باشد. ابتدا مدل به تعادل رسیده و میزان جابجایی‌ها صفر شد در مرحله بعد بخش فوقانی حفاری شده و بتن‌پاشی بخش فوقانی اعمال شد، سپس بخش تحتانی حفاری شده و نگهداری کامل مدل از ۴۰۴ المان و ۳۳۸۱ گره تشکیل شده است. طبق روند حفاری گردید. میزان نشست سطح زمین بعد از حفاری کامل مقطع در تصویر ۵ نمایش داده شده است. برای مدلسازی پوشش بتنی، از المان Plate نمایش داده شده است. جزئیات لحاظ شده برای مدلسازی پوشش بتنی استفاده شده است. اعمال شده به فضای حفاری تونل در جدول ۳ ارائه شده است.

مرحله به عنوان بار ترافیکی خیابان اعمال شده است. قسمت فوقانی مدل به عنوان بار ترافیکی خیابان اعمال شده است. مدل از ۴۰۴ المان و ۳۳۸۱ گره تشکیل شده است. طبق روند حفاری در پروژه، تونل در دو بخش فوقانی و تحتانی مورد حفاری قرار گرفته است. تصویر ۴ نحوه مش‌بندی المان محدود، بار ترافیکی و مراحل حفاری در مدلسازی عددی را نشان می‌دهد. حفر تونل به صورت مرحله‌ای بوده و روند حل مدل نیز به صورت اعمال شده به صورت مرحله‌ای بوده و روند حل مدل نیز به صورت



تصویر ۶- کنتور جابجایی کل در اثر حفر تونل



تصویر ۷- کنتور جابجاییهای قائم

تصویرهای ۶ و ۷، کنتور جابجاییهای کل و قائم بعد از حفاری کامل تونل را نشان می دهند. این تصاویر خروجی نرم افزار می باشند. مطابق تصویر ۷، جابجایی تاج تونل حدود  $7/6$  سانتی متر می باشد که این جابجایی در سطح زمین به حدود  $4/9$  سانتی متر می رسد.

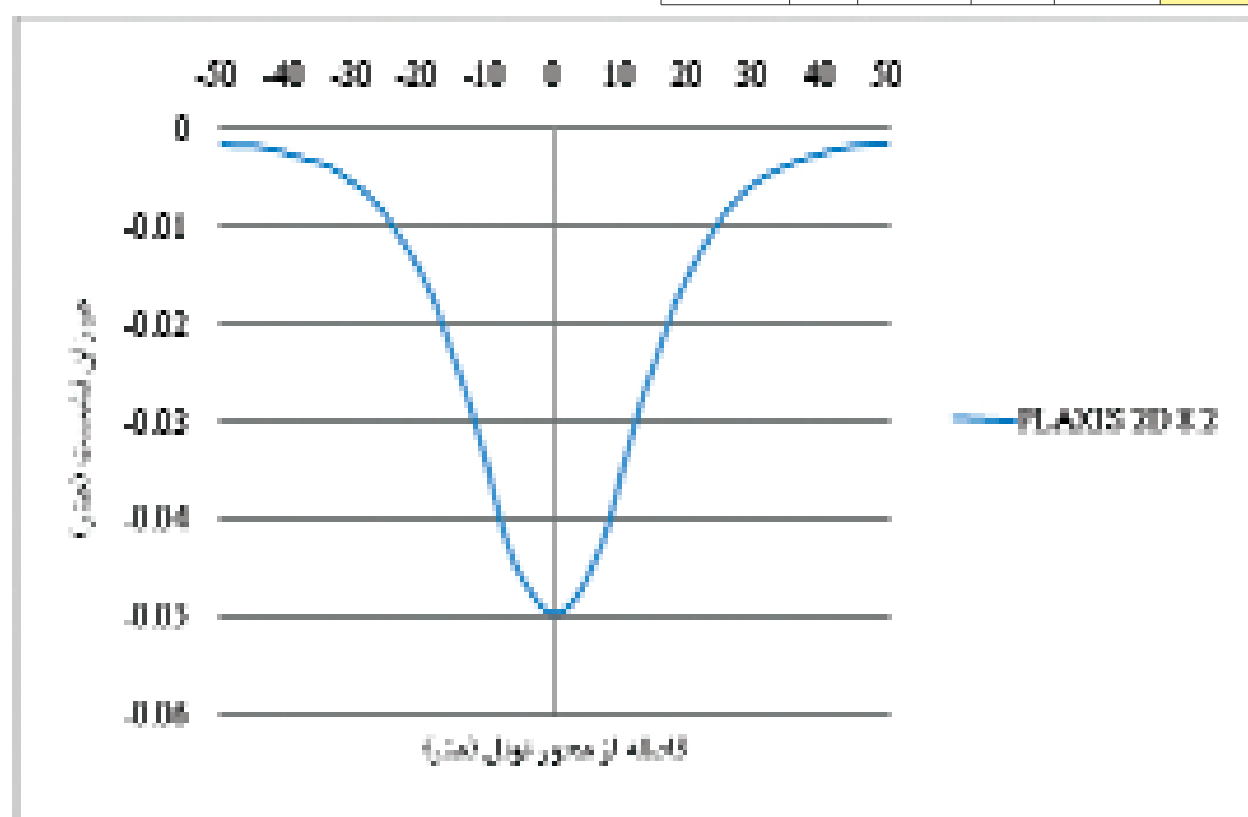
در نمودار ارائه شده در تصویر ۸ نیز میزان نشست برآورده توسط رابطه تحلیلی بابت و روش عددی المان محدود به منظور مقایسه نشان داده شده است. بر این اساس، پهنای گودی نشست در رابطه تحلیلی بابت از پهنای گودی نشست در روش عددی المان محدود کمتر است. همچنین میزان نشست ماکریم برآورده شده در رابطه تحلیلی بابت  $3/1$  سانتی متر و در روش عددی المان محدود با اعمال بار ترافیکی  $4/9$  سانتی متر و بدون اعمال بار ترافیکی  $4$  سانتی متر می باشد.

## ۵- نتایجه ابزار دقیق پروژه

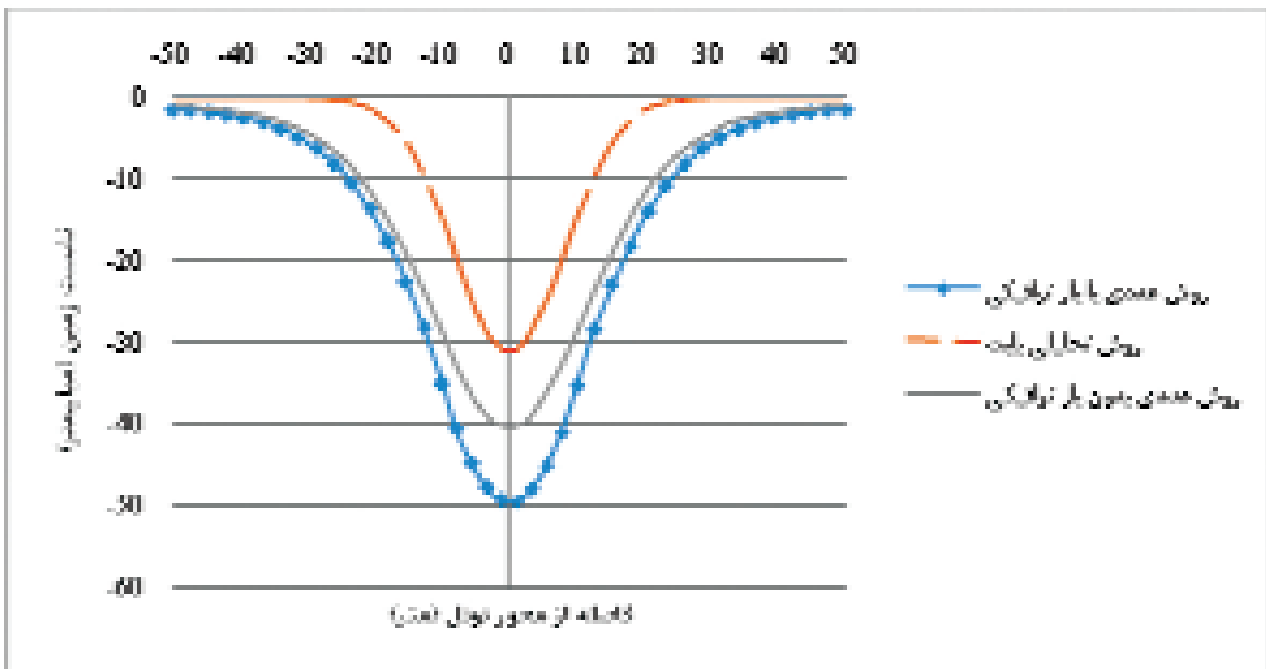
ایستگاه های نشست سنجی در خیابان و روی تونل به صورت پنج

جدول ۳- مشخصات پوشش بتی استفاده شده در مدل سازی عددی

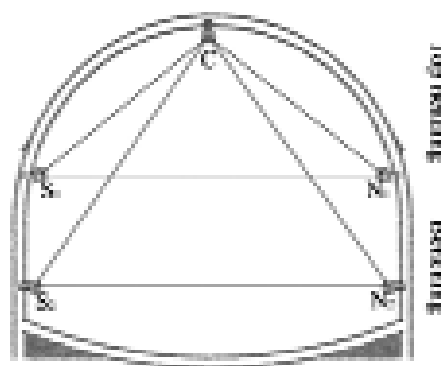
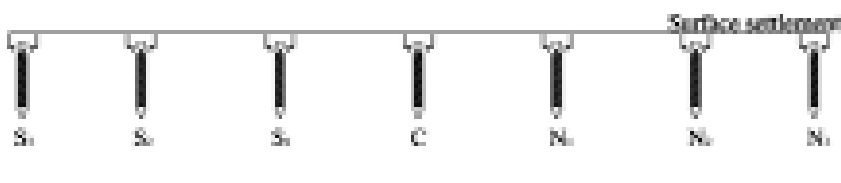
نوع المان	نسبت پواسون	وزن حجمی (KN/m/m)	ضخامت (متر)	سختی خمشی (KNm <sup>2</sup> /m)	سختی محوری (KN/m)
الاستیک کامل	۰/۲	۷/۵	۰/۳۵	$7/5*10^4$	$7/35*10^6$



تصویر ۵- پروفیل عرضی نشست بعد از حفر کامل تونل، مدلسازی عددی (با اعمال بار ترافیکی)



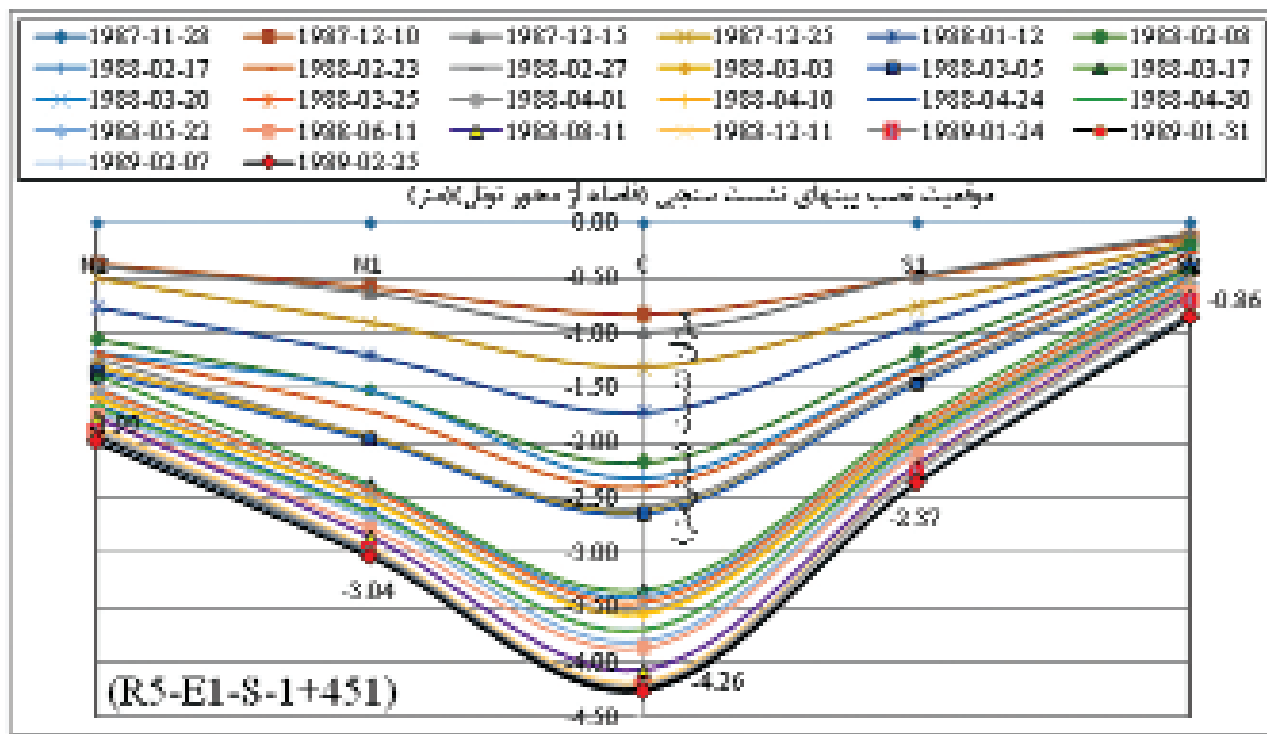
تصویر ۸- مقایسه رابطه تحلیلی بابت و روش عددی المان محدود



تصویر ۹- نحوه قرارگیری پین‌های نشست سنجی در سطح خیابان (شرکت مهندسین مشاور تونل راد ۱۳۹۰)

نقشه‌ای قرار می‌گیرند. بدین ترتیب که یک نقطه روی محور تونل و ایستگاه‌های تقارب سنجی بوده و در سطح خیابان نصب شوند. نکته دو نقطه در فاصله ۷/۵ متری از محور تونل نصب می‌شوند. تصویر ۹ قابل توجه در ایستگاه‌های نشست سنجی، عبور از لایه ضخیم جزئیات مربوط به طرح ابزار دقیق رانشان می‌دهد (شرکت مهندسین آسفالت و زیرسازی خیابان و اندازه گیری نشست زمین طبیعی مشاور تونل راد ۱۳۹۰).

در این پژوهش سعی شده که ایستگاه‌های نشست سنجی در محل (حدود ۰/۱ میلیمتر) بصورت دوره‌ای انجام می‌گیرد. در صورت محدوده تونل می‌باشد. قرائت به وسیله یک دوربین با دقت مناسب در این پژوهش شده که ایستگاه‌های نشست سنجی در محل



تصویر ۱۰- میزان نشست های ثبت شده توسط ابزار دقیق (شرکت مهندسین مشاور تونل راد ۱۳۹۰)

توتل به صورت تمام مقطع حفاری می شود. همچنین در این رابطه امکان در نظر گرفتن مشخصات شاتکریت و بار ترافیکی خیابان وجود ندارد. در کل روابط تحلیلی نمی توانند جزئیات کاملی را از

مسئله در نظر بگیرند و فقط میزان جابجایی ها و تغییر شکل ها در محدوده خاصی لحاظ می کنند. اما در نقطه مقابل، روش های عددی شامل عملیات حفاری فوقانی، شاتکریت و نگهداری، حفاری جزئیات مربوط به مسئله از قبیل مراحل حفاری تونل، بار ترافیکی خیابان و مشخصات شاتکریت را در نظر گرفته و تنفس و تنش و تغییر شکل در هر محدوده از مسئله را مورد بررسی قرار می دهد. همچنین می توان گفت که این نرم افزار قادر است جزئیاتی نظیر وجود

ساختمن، زیر گذر، پل و غیره را با دقت بالا در مدلسازی اعمال کرده و نتایج جامع تری را در اختیار قرار دهد. ذکر این نکته ضروری است که تحلیل عددی دو بعدی عموماً مقادیر را به صورت دسته بالا و محافظه کارانه بدست می دهد، لذا عموماً مقادیر جابجایی و تنفس را بیشتر نشان می دهد. ولی با این حال میزان نشست برآورد شده به وسیله نرم افزار (۴/۹ سانتی متر بدون اعمال بار ترافیکی و ۴ سانتی متر با اعمال بار ترافیکی) به میزان نشست گزارش شده با ابزار دقیق (۴/۲ سانتی متر) نزدیک تر است. برای برآورد دقیق تر، بهتر است

مشاهده اختلاف تراز پین ها نسبت به یکدیگر، می توان به نشست یا بالازدگی لایه های خاک پی برد (شرکت مهندسین مشاور تونل راد ۱۳۹۰).

تصویر ۱۰ مربوط به میزان نشست سطحی از تاریخ ۸۷/۱۱/۲۸ تا تاریخ ۸۹/۰۲/۲۵ یعنی حدود ۱۵ ماه از آغاز حفاری می باشد. این مراحل شامل عملیات حفاری فوقانی، شاتکریت و نگهداری، حفاری تحتانی، نگهداری و عملیات لاینینگ (که تابه تعادل رسیدن تنش های اطراف فضای حفاری و ثابت شدن نشست سطحی ادامه یافته)، می باشد. مطابق تصویر ۱۰، حداقل میزان نشست ۴/۲ سانتی متر می باشد.

در این تحقیق رابطه تحلیلی بابت و نرم افزار Plaxis، مورد مقایسه قرار گرفتند. میزان نشست برآورد شده به وسیله رابطه تحلیلی بابت ۳/۱ سانتی متر و میزان نشست برآورد شده به روش عددی المان ۴/۹ سانتی متر می باشد. همچنین میزان نشست ثبت شده با ابزار دقیق، ۴/۲ سانتی متر می باشد. رابطه تحلیلی بابت با در نظر گرفتن پارامترهایی از قبیل مدول الاستیسیته، شعاع تونل، عمق تونل و ضریب فشار زمین سعی به برآورد میزان نشست دارد. اما ذکر این نکات ضروری است که در رابطه تحلیلی بابت فرض بر آن است که

Conference on Soil Mechanics and Foundation Engineering, State of the Art Volume, Mexico City, Mexico, Sociedad Mexicana de Mecánica de Suelos: 225-290.

Potts, D. M., Addenbrooke, T. I., 1997. A structure influence on tunneling induced ground movement. Proceeding of the institution of Civil Engineers, paper 11048: 109-125.

Sagaseta, C., 1987. Analysis of undrained soil deformation due to ground loss. *Geotechnique* 37 (3): 301-320.

Talebinejad, A., Chakeri, H., Moosavi, M., Ozcelik, Y., Unver, B., Hindistan, M. A., 2013. Investigation of surface and subsurface displacements due to multiple tunnels excavation in urban area. *Arabian Journal of Geosciences*, DOI 10.1007/s12517-013-1056-5.

Verruijt, A., Booker, J. R., 1996. Surface settlement due to deformation of a tunnel in an elastic half plane. *Geotechnique* 46 (4): 753-756.

مجموعه‌ای از روش‌های تحلیلی و عددی بررسی و با یکدیگر مقایسه شده و در نهایت با قضاوت مهندسی به نتیجه مطلوب رسید.

## مراجع

ستاری، ق.، اسدی، ا.، شهریار، ک.، زمانی، ح.، ۱۳۸۸. برآورد عددی و تحلیلی نشت سطح زمین ناشی از تونل سازی با سپر تعادلی، مطالعه موردنی؛ خط هفت متروی تهران. مجموعه مقالات هشتمین کنفرانس تونل ایران، دانشگاه تربیت مدرس، تهران، ایران: ۱۲۹-۱۲۳.

شرکت مهندسین مشاور تونل راد، ۱۳۹۰. گزارش رفارت‌نگاری پروژه قطار شهری کرج و حومه.

شرکت مهندسین مشاور دریا خاک پی، ۱۳۸۴. گزارش نهایی مطالعات ئوتکنیک قطعه دوم مسیر مصوب قطار شهری کرج و حومه.

Attewell, P. B., Woodman, J. P., 1982. Predicting the dynamics of ground settlement and its derivatives caused by tunneling in soil. *Ground Engineering* 15 (8): 13-20.

Bobet, A., 2001. Analytical solutions for shallow tunnels in saturated ground. *J. Eng. Mech. Div. ASCE* 127 (12): 1258-1266.

Brinkgreve, R.B.J., 2002. PLAXIS 2D version 8.2 reference manual. Delft University of Technology, Netherlands.

Dimmock P. S., Mair R. J., 2008. Effect of building stiffness on tunneling-induced ground movement. *Journal of Tunneling & Underground Space Technology* 23: 438-450.

Franzius J. N., 2003. Behavior of building due to tunnel induced settlement. Ph.D. thesis, Imperial College of Science, Technology and Medicine.

Gonzalez, C., Sagaseta, C., 2001. Patterns of soil deformations around tunnels, application to the extension of Madrid Metro. *Computers and Geotechnics*, 28: 445- 468.

Ghorbani, M., Sharifzadeh, M., Yasrobi, S., Daiyan, M., 2012. Geotechnical, structural and geodetic measurements for conventional tunneling hazards in urban areas - the case of niayesh road tunnel project. *Tunneling and Underground Space Technology* 31: 1-8.

Loganathan, N., Poulos, H.G., 1998. Analytical prediction for tunneling-induced ground movements in clays. *Journal of Geotechnical and Geoenvironmental Engineering* 124 (9): 846-856.

Mirhabibi, A., Soroush, A., 2012. Effect of surface buildings on twin tunneling-induced ground settlement. *Tunneling and Underground Space Technology* 29: 40-51.

Mirhabibi, A., Soroush, A., 2013. Effects of building three-dimensional modeling type on twin tunneling-induced ground settlement. *Tunneling and Underground Space Technology* 38: 224-234.

Park, K. H., 2005. Analytical solution for tunneling-induced ground movement in clays. *Tunneling and Underground Space Technology* 20: 249-261.

Peck, R. B., 1969. Deep excavations and tunneling in soft ground. In: *Proceedings of the 7th International*